

## 中子小角散射讲座

### 第三讲 中子小角散射在材料科学中的应用

张志友

(烟台大学物理系)

X射线小角散射在材料科学中是分析物质结构的重要手段之一<sup>[1]</sup>。由于中子吸收截面小，所以中子小角散射可以采用较大的厚块样品。长波长的冷中子，既可以避免X射线结晶学中的双布拉格衍射，又可以在较小的散射矢量  $Q$  范围内研究中子散射强度的分布。某些近邻元素(如Al, Mg等)，对X射线的散射能力几乎一样，而它们的中子散射振幅则是无规的。所以，中子小角散射又特别适宜研究相邻元素合金中的分凝现象。中子具有磁矩，能与磁性物质相互作用，产生磁的小角散射。

这里应当强调指出，所谓“小角”，是指小的散射矢量  $|Q|$  值，大小范围约为

$$0 < Q < \pi/d_s, \quad (1)$$

其中

$$d_s = 4\pi \sin \theta / \lambda, \quad (2)$$

$d_s$  为样品中结构单元间距， $2\theta$  为散射角， $\lambda$  为冷中子波长 ( $\sim 1\text{nm}$ )。小角一般是指  $5^\circ$  以下的范围。在此范围内，我们所感兴趣的散射强度是由线度为  $1-10^2\text{nm}$  的非同质所产生的。

#### 一、在冶金学中的应用

1. Al-Zn 合金中纪尼叶-普雷斯顿(G-P)区的研究：以Al为基的合金中G-P区的研究，在文献[2-4]中都有了大量的介绍。对Al-Zn合金的研究，主要集中在相分离仅引起弹性畸变的早期。人们对这个阶段的相分离提出了两种不同的机制：在高于亚稳分解温度  $T_s$  时，过饱和固溶体是亚稳态，此时的相分离是先成核，再生长；当低于  $T_s$  时，得到不稳定固

溶体，发生亚稳分解，这个阶段有Cahn的线性近似理论解释<sup>[5]</sup>。所以，研究Al-Zn合金的实验分别在两个温度范围进行<sup>[6-8]</sup>。这里需要强调指出的是，尽管X射线小角散射研究Al-Cu及其它以Al为基的合金的G-P区将近半个世纪，刚刚发展起来的中子小角散射却能够在更小的  $Q$  范围内给出分辨率较高的散射曲线(图1, 图2)。图1中的样品Al-6.8at.%Zn在230°C作热处理，然后就地冷却到三个时效温度110°C, 124°C和132°C。根据Junqua等人的X射线实验结果，这种合金的亚稳分解温度  $T_s$  为129°C。时效温度为110°C，显然低于  $T_s$ ，但从小角散射曲线上可以看到，30min时

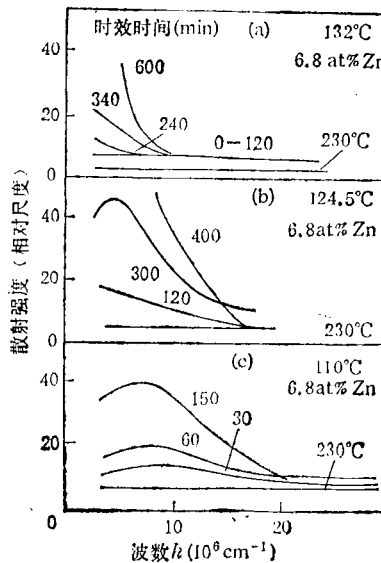


图1 Al-6.8 at.% Zn的就地X射线小角散射曲线(样品在230°C均匀化，然后迅速冷却至时效温度)  
(a) 132°C; (b) 124.5°C; (c) 110°C  
(时效时间从30—600min不等)(Allain et al., 1974)

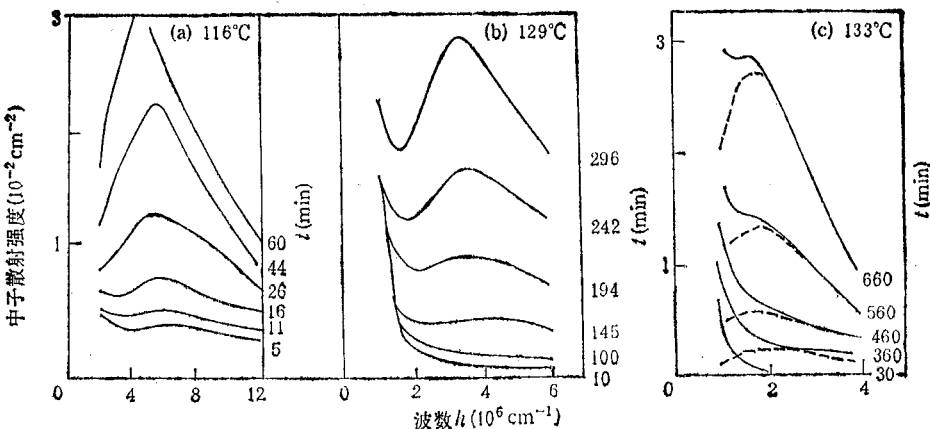


图 2 Al-6.8at.% Zn 的就地中子小角散射曲线(样品在 350°C 均匀化,然后冷却到时效温度)  
 (a) 116°C; (b) 129°C; (c) 133°C (Laslaz et al., 1977)

便显示出极大。小角散射的立即出现和呈现极大,这都是亚稳分解的证据。而样品在 132°C 时效处理时,该温度正好高于亚稳分解温度  $T_s$ 。时效 120min 后,什么动静也没有,只给出散射背景。当时效至 240min 时,散射曲线才隐约可见一点点变化,但在所测  $Q$  值范围内,不出现极大值。需要孕育期以及没有极大值,恰好是核化生长型的证据。但是法国的科学工作者,根据中子小角散射得到的曲线,对 X 射线研究的结果提出了异议。他们的实验是在格勒诺布尔的劳厄·朗之万研究所内的分辨率较好的  $D_{II}$  小角散射谱仪上进行的,结果如图 2 所示。他们认为“孕育期”的定义只是时间标度(即长短)的问题;而 X 射线散射曲线上不出现极大,是小角散射谱仪分辨率的问题。他们将样品分别在 116°C, 129°C 及 133°C 进行时效处理,从实验曲线上不难看出,每个时效温度上都有极大值出现,只不过随着时效温度的增加,极大值峰的高度渐渐下降而已。为此,他们提出了新的解释<sup>[7]</sup>。

2. 其它的合金系统,如 Al-Mg, Al-Si 等,由于相邻元素对中子的散射振幅不随原子序数作规则变化,所以中子小角散射能对它们进行相分离的研究。

3. 近年来, Ni 合金的相分离的研究也不少见。这些合金是 Ni-Al, Cu-Ni, Au-Ni 以及 Fe-Ni 等。

4. 用中子小角散射在玻璃态的金属和氧化物中也观察到相分离,例如含有 12mol% Na<sub>2</sub>O 的 SiO<sub>2</sub> 熔体<sup>[9]</sup>, Al<sub>2</sub>O<sub>3</sub>-SiO<sub>2</sub> 等。

5. 由中子小角衍射提供的 II 型超导体中磁通线点阵的质量信息,恰好与冶金工艺的变量有关<sup>[10]</sup>。

## 二、研究材料的缺陷结构

### 1. 非破坏性探测

由于中子吸收截面小,所以比较大的整个工业部件可以用来接受中子辐照。最成功的例子是意大利的物理学和冶金学工作者的研究<sup>[11]</sup>。他们研究以 Ni 为基的合金材料制成的航空和水力涡轮机的叶片,发现有半径 20—30nm 的颗粒存在,这严重地影响着涡轮机的使用寿命。结果表明,当涡轮机工作到 16000h 后,中子小角可以“察看”到叶片的中部和顶端的颗粒在长大;工作到 60000h 之后,颗粒的半径接近 90nm。使用专门的计算程序,可以定量地计算出这些颗粒的尺寸分布及其相应的数量。

### 2. 位错

位错的中子小角散射理论为 Schmatz 等人所概括<sup>[12,13]</sup>。

一般位错即使是高密度的位错,产生的小角散射强度总是很低,常为双布拉格衍射所淹没。长波长的冷中子小角散射可以用来揭示位

错的某些散射性质。位错的小角散射是由位错核周围的密度变化所造成，现已明白螺旋位错对小角散射无贡献。

实验结果发现，位错的散射强度比起表面的不规则性，夹杂物或气孔的散射强度要低得多。人们总是对接近饱和的磁性晶体的位错散射更加感兴趣，因为此时有较高的散射强度，可以更加精确地进行分析。Göltz 对形变 Fe 单晶的位错作了研究<sup>[14]</sup>。

### 3. 辐射损伤

一般情形下，低能量的冷中子不会造成样品的伤害。这里所说的辐射损伤是指某些将要在核反应堆中工作的器械，预先进行的一次“试用”。

冷中子源的储存液氢或液氘的铝质容器，安装在反应堆中热中子通量较高的地方，Al 常因俘获热中子而产生可观的硅。为了研究该铝质容器经中子辐照后能否引起机械性能的变化，Kostorz 作了一系列 Al-Si 合金的研究<sup>[15]</sup>。经辐照后的样品再回火到室温附近，并未发现 Si 集聚成团的迹象。

用于中子高剂量辐照研究的材料还有石墨、单晶硅、半导体 GaAs 和金属 Zr 等。

经电子辐照的样品 CuNi, CuNiFe 等合金，用中子小角散射可研究其原子的聚集与分解<sup>[16]</sup>。

### 4. 空穴

用于航天技术的某些多晶、单晶材料，经疲劳和蠕变成穴的现象，自 1978 年以来，一直为美国科学家所重视<sup>[17]</sup>。他们选用纯铜和铝合金来研究疲劳感生晶粒间界空化过程。研究的样品尺寸为  $9.5 \times 6.5 \times 6.5 \text{ mm}^3$ ；疲劳过程，即反复弯曲过程，反复频率为 17 Hz，反复次数约为  $3.5 \times 10^4 - 6.2 \times 10^5$ ；实验环境是在  $405^\circ\text{C}$ （熔化温度的一半）、纯化了的氩气气氛中进行。中子小角散射结果表明，空穴体积分数随着疲劳时间的增加而增大。

中子小角散射研究疲劳感生空穴，从而可预言航天材料的使用寿命，现已引起人们的极大兴趣。这一新技术也应为我国有关部门所重

视。

## 三、在磁性材料中的应用

中子的磁的小角散射是 X 射线所无能为力的。中子磁矩和磁性材料的局域磁化相互作用，其功能如同探针一般，可以很好地了解磁矩排列的详细情形。实验过程中，采用外加磁场饱和磁化样品后，可以将核散射与磁散射完全分开。磁的小角散射项为

$$\left( \frac{d\sigma}{dQ} \right)_{\text{mag}} = \frac{1}{N} D_\mu |\mathbf{M}^\perp(\mathbf{Q})|^2, \quad (3)$$

$$\mathbf{M}^\perp(\mathbf{Q}) = \mathbf{M}(\mathbf{Q}) - \mathbf{Q}\{\mathbf{Q} \cdot \mathbf{M}(\mathbf{Q})\}/Q^2, \quad (4)$$

$$\mathbf{M}(\mathbf{Q}) = \int_V \mathbf{M}(\mathbf{r}) \exp(i\mathbf{Q} \cdot \mathbf{r}) d^3\mathbf{r}, \quad (5)$$

式中  $D_\mu = 0.29 \times 10^{-24} \text{ cm}^2$ ,  $\mathbf{M}^\perp(\mathbf{Q})$  是垂直于  $\mathbf{Q}$  的磁化密度  $\mathbf{M}(\mathbf{r})$  的傅里叶变换的分量， $\mathbf{M}(\mathbf{r})$  的大小是用单位体积内的玻尔磁子数表示。显而易见，均匀磁化（即饱和磁化）的样品的小角散射为零。当临近饱和磁化时，磁化密度  $\mathbf{M}(\mathbf{r})$  可能有取向和大小的涨落，从而产生小角散射。

### 1. 非晶态材料

中子小角散射用于研究 Fe-Ni-Mo-B 合金

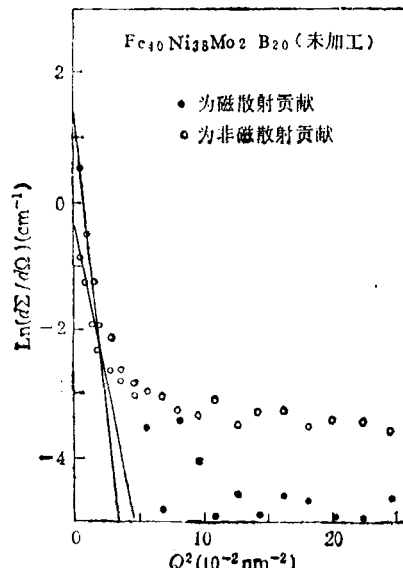


图 3 中子小角散射强度的纪尼叶作图

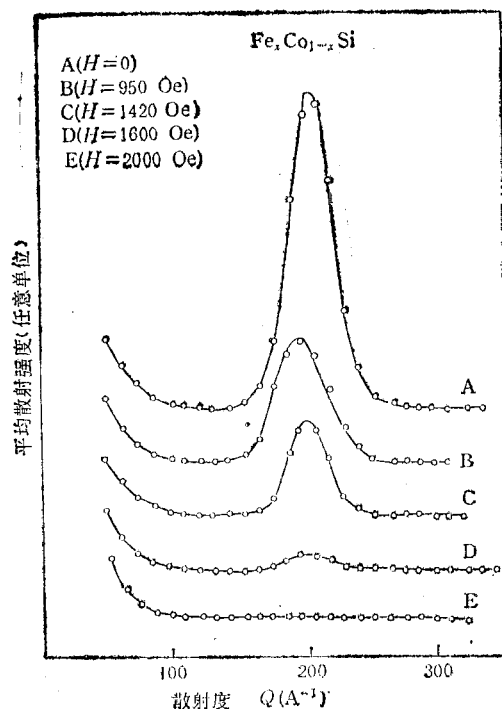


图 4 不同磁场下, 旋磁材料  $\text{Fe}_{0.8}\text{Co}_{0.2}\text{Si}$  的中子散射平均强度

中磁的和核的均匀性, 有过不少报道。王震西等人的工作要算比较成功的<sup>[18]</sup>, 他们首次清楚地将核散射和磁散射分开, 得到了室温下  $\text{Fe}_{40}\text{Ni}_{38}\text{Mo}_2\text{B}_{20}$  样品的回转半径  $R_G(\text{mag.})$  约为 23nm 和  $R_G(\text{nul.})$  约为 20nm, 小角散射强度的纪尼叶作图如图 3 所示。

## 2. 旋磁材料

旋磁材料结构的测定, 只有求助于中子小角衍射(在同一台小角散射谱仪上进行)。Beille 等人对  $\text{Fe}_x\text{Co}_{1-x}\text{Si}$  合金的旋磁结构作了研

究<sup>[19]</sup>。样品是在 4.2K 和 30K 之间的温度并施加外磁场直至 3kOe, 观察不同的外加磁场对样品的中子散射强度的影响。当外加场为零时, 温度为 4.2K 情形下, 推出  $\text{Fe}_{0.8}\text{Co}_{0.2}\text{Si}$  的螺旋周期为 29.5nm, 测量结果如图 4 所示。

- [1] V. Gerold, G. Kostorz, *J. Appl. Cryst.*, **11**(1978), 376—404.
- [2] 许顺生, 金属 X 射线学, 上海科学技术出版社, (1964), 445—469。
- [3] M. Murakami et al., *Acta Metall.*, **17**(1969), 1517—1521.
- [4] S. C. Aqarwal and H. Herman, *Rev. Siemens*, **41**(1974a), 34—40.
- [5] J. W. Cahn, *Acta Metall.*, **10**(1962), 907—913.
- [6] D. Allain et al., *Scripta Metall.*, **8**(1974), 831—836.
- [7] G. Laslaz et al., *Phys. Status Solidi A*, **41**(1977), 577—583.
- [8] A. M. Flank and A. Naudon, *J. Appl. Cryst.*, **10**(1977a), 151—155.
- [9] M. Roth and J. Zarzicki, *J. Non-Cryst. Solids*, **16**(1974), 93—100.
- [10] G. Lippmann et al., *Philos. Mag.*, **33**(1976), 475—491.
- [11] P. Pizzi et al., Proc. World Conf. Non-Destr. Test. 8th, (1976), 317.
- [12] W. Schmatz, *Rev. Nuovo Cimento*, **5**(1975), 398.
- [13] H. Scheuer, Dr. Rer. Nat. Dissertation, Universität Bochum, Germany, (1977), 3—10.
- [14] G. Göltz, Dr. Rer. Nat. Dissertation, Universität Stuttgart, Germany, (1976), 2—15.
- [15] G. Kostorz, *Z. Metallkd.*, **67**(1976), 704—710.
- [16] H. W. Gölling et al., Annual Report, Institut Laue-Langevin, (1980), 310.
- [17] J. G. Cabañas-Moreno et al., Fatigue Mechanisms: Advances in Quantitative Measurement of Physical Damage, American Society for Testing and Materials, (1983), 95—114.
- [18] Z. X. Wang et al., *J. Magn. Magn. Mat.*, **28**(1982), 143—148.
- [19] J. Beille et al., *J. Phys. F*, **11**(1981), 2153—2160.

## 1989 年第 4 期《物理》内容预告

高温氧化物超导体的特征化(赵忠贤); 对新型超导体的研究使旧问题复苏 (A. Khurana); 板性/非极性半导体异质结构(蒋维栋等); 高能粒子加速器(徐建铭); 三维显示技术(王本等); 穆斯堡尔谱学数据处理方法的最新进展(孙小锋等); 探测地下水参数的同位素示踪仪及其应用(陈建生); 单晶点阵常数的赝 Kossel 法(张建中); 数字实验室 (K. H. A. Winkler

等); 引力辐射探测实验中的非相关检测(管同仁等); 生命系统的超弱光子辐射(顾樵); 莱曼  $\alpha$  森林(陈建生); 丁铎尔及其物理学著作传入中国(王锦光等); 评《凝聚态物理学丛书》之一——《铁磁学》上册(刘宜华等); 静电场治疗装置(张福学); 具有金属反射腔的半导体平面发光器件设计原理(方志烈等)。